

11413—
2023

(ISO 11413:2019, IDT)

11413—2023

1 ()
4

2 241 « ,
»

3 31 2023 . 66-

4 11413:2019 « -

» (ISO 11413:2019 «Plastics pipes and fittings — Preparation of test piece assemblies between a polyethylene (PE) pipe and an electrofusion fitting», IDT).

5 11413—2014

29 2015 . 162- « 26
».

) () « », 1
« »,
».

(www.rst.gov.ru)

| | | |
|------|-------|----|
| 1 | | 1 |
| 2 | | 1 |
| 3 | | |
| 4 | | |
| 5 | | 3 |
| () | | 5 |
| () | | 6 |
| () | | 7 |
| D() | | 7 |
| () | | 10 |

12176-2 . . . 8

11413

/ 138 «
5 «

»,

».

(), ()

3

3.1 t_R (reference time, t_R):

3.2 (fusion energy):

1 —
2 — () T_{min}

3.3 (reference energy):

3.4 (maximum energy): T_R

3.5 (minimum energy):

3.6 (nominal energy):

4

4.1 (. . . .1)

d_e — ;

d_{em} — ;

d_{emp} — ()

$L_3 + 0,5L_2$

D_{jm} —

$L_3 + 0,5Z_{-2}$

$D_{/m}$ max — $D_{/m}$

max — ;

min — ;

e_s — ()

L_2 — ;

l_{-3} —

4.2

4.2.1

1 —

:

$$^1 \text{Dim } d_{emr}$$

2 —

:

$$^2 - 1 + 2e_s$$

— 2

d_{em}

d_{emp}

(.

5.1)

$$d_{em,p} = \text{Dim} - 2 <$$

3 —

:

$$^3 \text{Dim, max } d_e >$$

4 —

:

$$^4 = + 2e_s -$$

— 4

d_{em}

d_{emp}

$$d_{em,p} D_j m$$

4.2.2

4.3

—

—

T_{min}

T_R —

(23 ± 2) °C;

;

T_{min} —

5

5.1

4427-2,

4427-3,

4437-2,

4437-3,

14531-1,

15494

4427-3,

4437-3,

e_s

0,2

e_s

5.2

d)), -
±2 °C,

170

)

T_R

4.1

.1,

D.

T_R

)

4.2.

)

d)

1,

1—

| | |
|----------|----|
| | |
| < 3 | 1 |
| ≤ < | 3 |
| ≤ < | 6 |
| 16< < 32 | 10 |
| 32< | 16 |

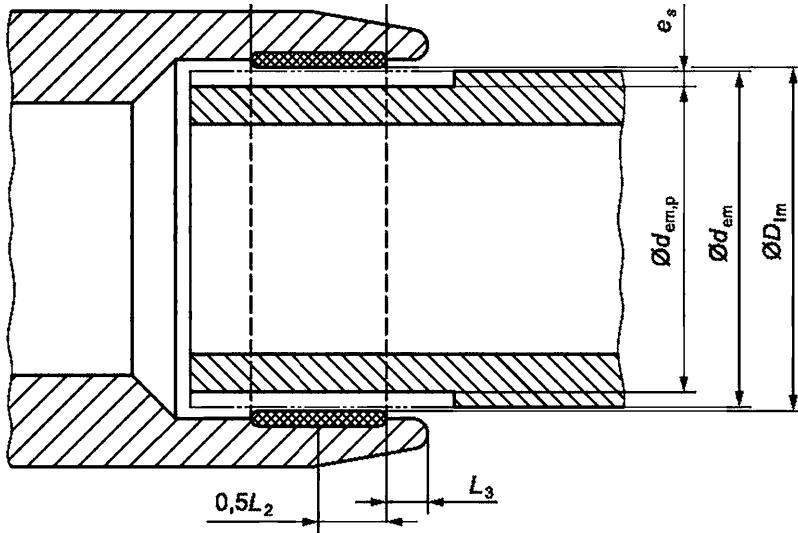
)

f)

)

()

£-2



L_2 — ;

L_3 — ;

$D_{uim}^{i,max+}$ 2 ;

d_{em} — ;

" , -----» " — ;

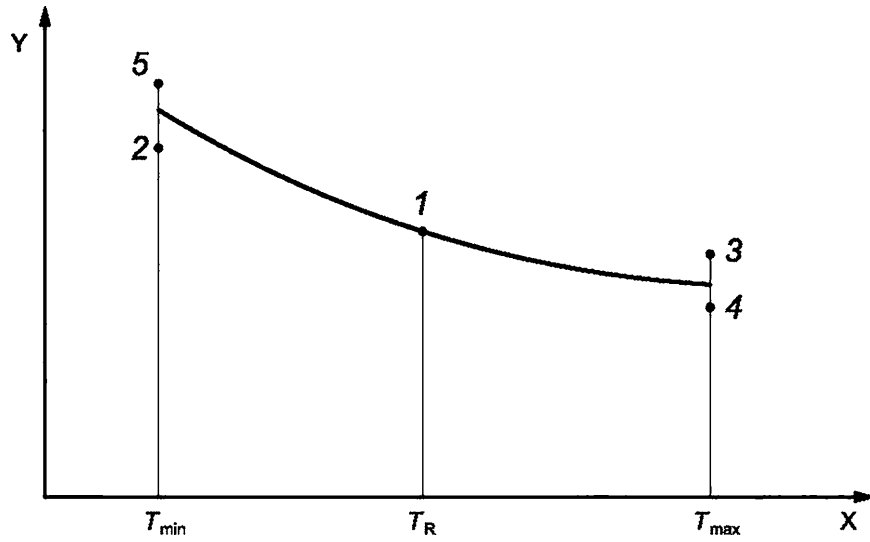
e_s $em \&$, -

.1 —

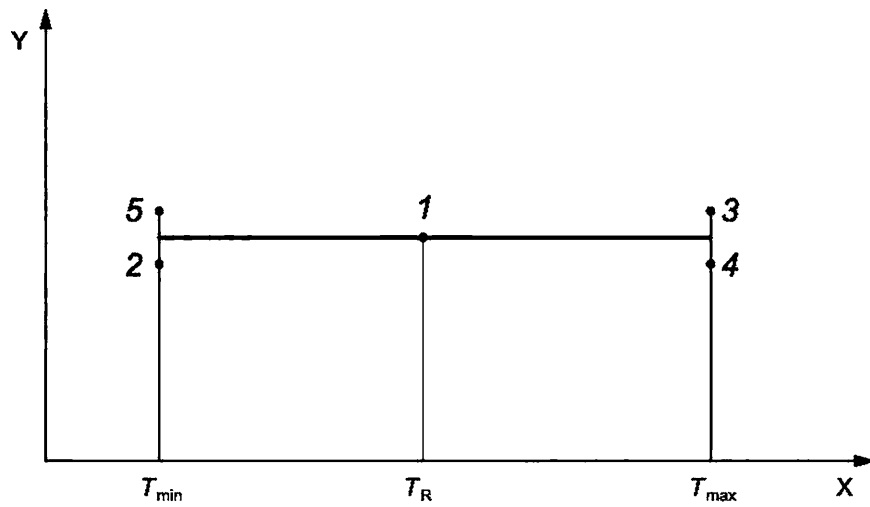
()

.1 .2
).

(.



X— ; — ; 1—5— ,
.1—



X— ; — ; 1—5— ,
.2—

()

.1 —

| | | | | | |
|---|-------|---|---|---|----|
| | | | | | 0 |
| 1 | T_R | - | 2 | | 01 |
| 2.1 | 7~min | | 4 | ® | 01 |
| 2.2 | 7~min | | 4 | | |
| 3.1 | | | 2 | ® | 01 |
| 3.2 | | | 2 | | |
| 4 | | | 4 | | |
| 5 | 7~min | - | 2 | | |
| <p>— 1—5 , .1 .2.</p> <p>d</p> <p>®</p> | | | | | |

(D)

12176-2

D.1

$$V_{\max} = \frac{V_{\min}}{k} \quad (D.1)$$

$$\max J_R^{\max} \quad (D.2)$$

V_{\max} — , ();
 — ;
 I — ;
 I — ();
 I_{\min} — , , $T_{R'}$
 I — , , $T_{R'}$
 R — , , $T_{R'}$

D.1.

D.2

$$V_{\text{app}} = \frac{V_{\min}}{k} \quad (D.3)$$

$$i_{\text{app}} = \frac{i_{\min}}{M} \quad (D.4)$$

I — , ();
 — ;
 I — ;
 I_{\min} — ();
 I_{\min} — , , $T_{R'}$
 I — , , $T_{R'}$
 R — , , $T_{R'}$

D.1.

D.1 —

| | | |
|-------|-----|--------|
| | | |
| 0 1 | 0,1 | 0,25 % |
| 0 10 | 1 | 0,25 % |
| 0 100 | 10 | 0,25 % |

()

.1

| | | | |
|---------------------------------|-----|----------------|-------------|
| | | | |
| ISO 4427-2 | — | | * |
| ISO 4427-3 | — | | * |
| ISO 4437-2 | MOD | 58121.2—2018 « | (). 2. » - |
| ISO 4437-3 | MOD | 58121.3—2018 « | (). 3. » - |
| ISO 12176-2 | IDT | 12176-2—2011 « | . 2. » - |
| ISO 14531-1 | — | | * |
| ISO 15494 | — | | * |
| <p>- IDT — ;</p> <p>- MOD —</p> | | | |

621.791.006.354

25.160.10
23.040.60
75.200

: , , , , ,

01.02.2023.

03.02.2023.

60*8478.

. . . 1,86. - . . 1,64.

,

«

»

117418

, - , . 31, . 2.

www.gostinfo.ru info@gostinfo.ru